



仿真
新时代

2017 ANSYS 用户技术大会

中国·烟台

HFSS 核心算法技术全览

赵克钟 博士

ANSYS 首席研发专家

HFSS 的一些历史

1969年的电磁学

- EM is textbook stuff (电磁只限于教课书)
- Computers were primitive (电脑还很原始)
 - Punched card input (打孔卡输入)
 - Memory in KB (内存很少)
 - Limited to solving a 100 X 100 matrix (最多只能解100x100的矩阵)
- CEM was in it's infancy (计算电磁才刚刚开始)
 - Kane S. Yee, FDTD (时域有限差分), IEEE AP-S, 1966
 - Roger F. Harrington, Field Computation by Moment Methods (矩量法), 1968

一个行业的演化

第一阶段 – 研发

- 1967
 - 第一篇应用在电磁的有限元文章 (P. Silvester)
- 1969
 - 第一篇用有限元解非线性静磁(magnetostatic)问题(M. V. K. Chari and P. Silvester)
- 1970
 - 发现寄生模 (Spurious modes) (P. Daly and, separately, Z. Cendes and P. Silvester)

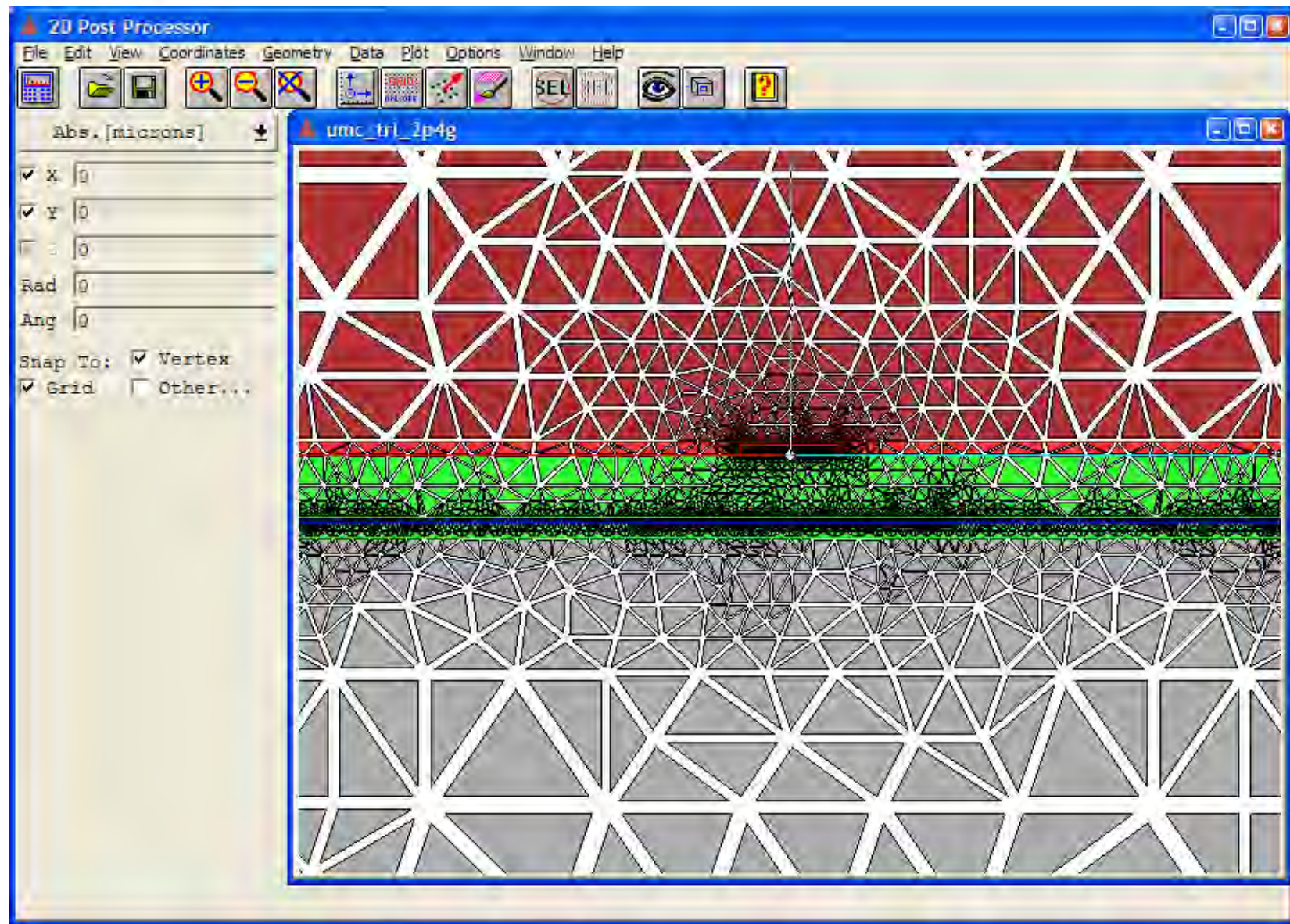
一个行业的演化

第一阶段 - 研发

- **Z. J. Cendes**, D. N. Shenton and H. Shahnasser, “Magnetic field computation using Delaunay triangulation and complementary finite element methods ”, *IEEE Transactions on Magnetics*, Vol. MAG-19, pp. 2551-2554, 1983.
- M. L. Barton and **Z. J. Cendes**, “An improved method for magnetic flux density visualization using three - dimensional edge finite element method ”, *J. Applied Phys*, 1987.
- S. H. Wong and **Z. J. Cendes**, “Combined Finite Element-Modal Solution of Three-Dimensional Eddy Current Problems,” *IEEE Transactions on Magnetics*, pp, 21685-2687, 1988.
- J. F. Lee, D. K. Sun, and **Z. J. Cendes**, “Tangential vector finite elements for electromagnetic field computation”, *IEEE Transactions on Magnetics*, Vol. 27, No. 5, pp. 4032-4035, 1991.

一个行业的演化 第二阶段- 创业

- **1979**
 - Infolytica
- **1984**
 - Ansoft
- **1985**
 - Vector Fields
 - Magsoft
 - IES
- **Others**



David Shenton & Meshmaker

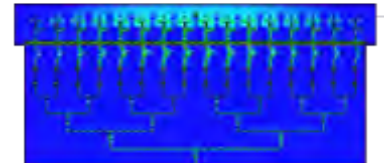
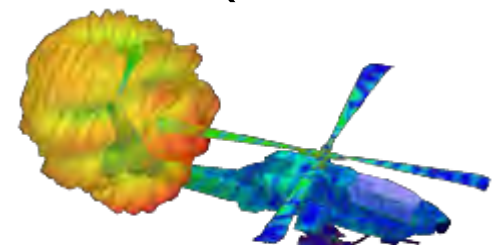


Dr.Din Kow Sun & Prof. Jin-Fa Lee



经典HFSS 的算法技术

HFSS 的算法

- **HFSS: Frequency domain finite element solver** (频域有限元)
 - ✓ 经典 FEM 求解器
 - ✓ 适用范围广
- **HFSS-Transient: Time domain finite element solver** (时域有限元)
 - ✓ v13 版本添加
 - ✓ 主要用于研究瞬变现象
- **HFSS-IE: Frequency domain integral equation solver** (频域矩量法)
 - ✓ v12 版本添加
 - ✓ 主要用于电大金属结构

关键技术突破

- **Spurious Free Vector Basis Functions (物理化矢量基函数)**
 - 对Maxwell方程组提供可靠的解
- **Automatic Adaptive Meshing (准确高效的自动自适应网格剖分)**
 - “Physics defines the mesh not the other way around” “物理定义了网格，而非相反”
- **Transfinite Element Method (超限元法)**
 - 提供准确有效的端口网络的参数提取 (s、Y 和 Z 参数)
- **Domain Decomposition Method (区域分解法)**
 - 实现分布式内存 (集群) 并行计算
 - 对于许多先进算法功能相当关键

其他重要技术

- **避免低频崩溃的一些特别处理技术**

- ✓ 基于树-叉树分割 (Tree-cotree basis splitting) 实现更好的矩阵调整
- ✓ 在低频段，特有的端口方程很稳定
- ✓ 扩展精度 (Extended precision) 以充分利用这些特性

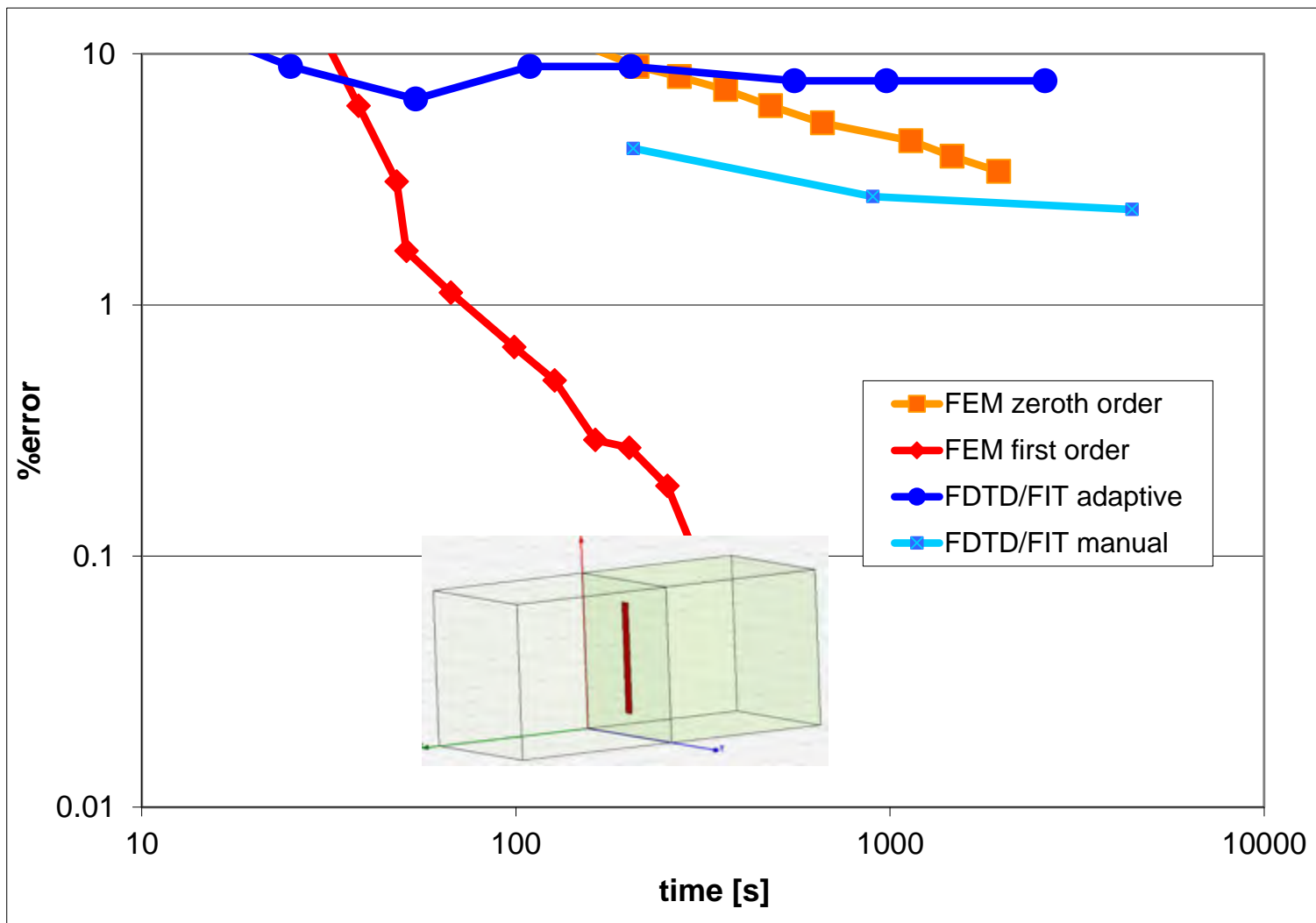
- **提升扫频速度**

- ✓ 调优的宽带扫频技术（插值扫频）
- ✓ 高效的窄带扫频技术（快速扫频）

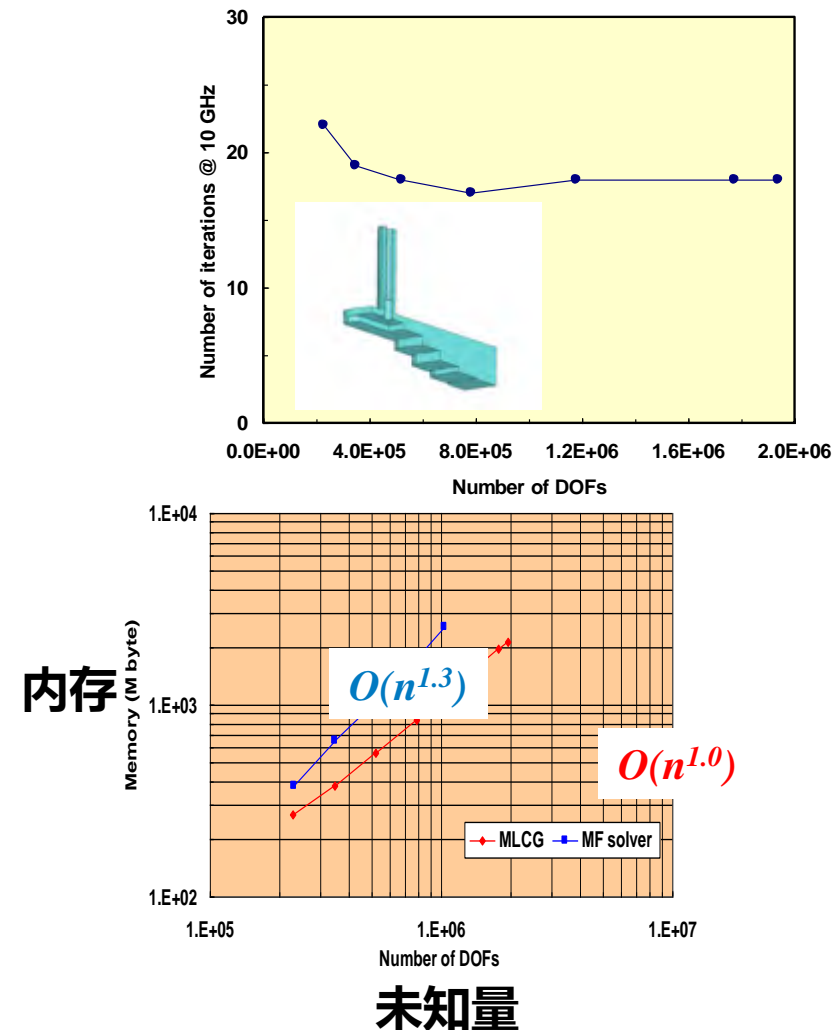
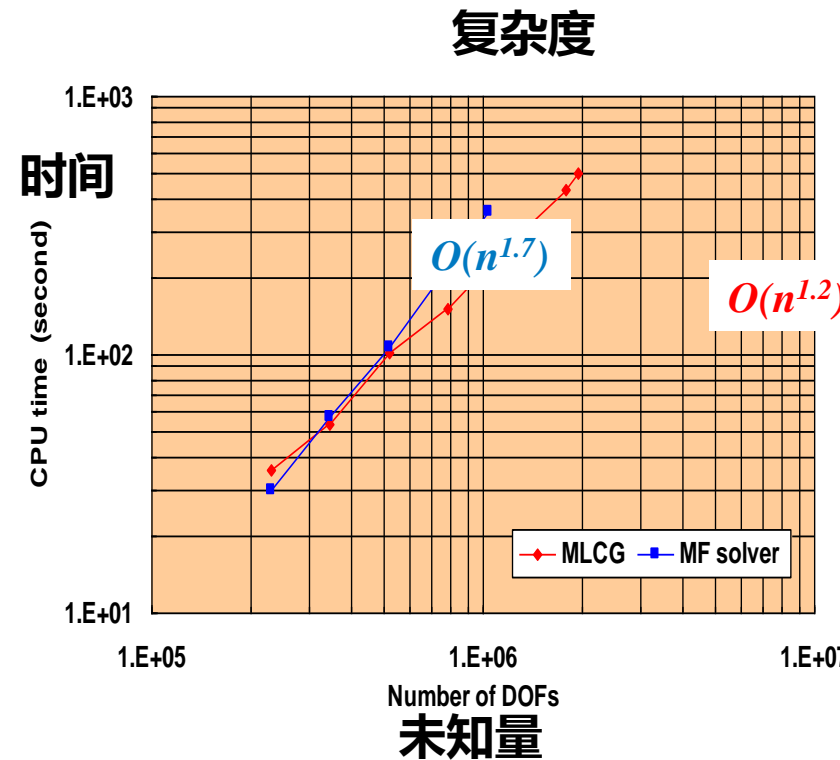
- **对 SI 类问题采用终端模式 (Terminal Modes)**

- ✓ 终端模式与本征模式 (Eigen Modes) 是线性组合
- ✓ 确保模式的一致性（已获专利）

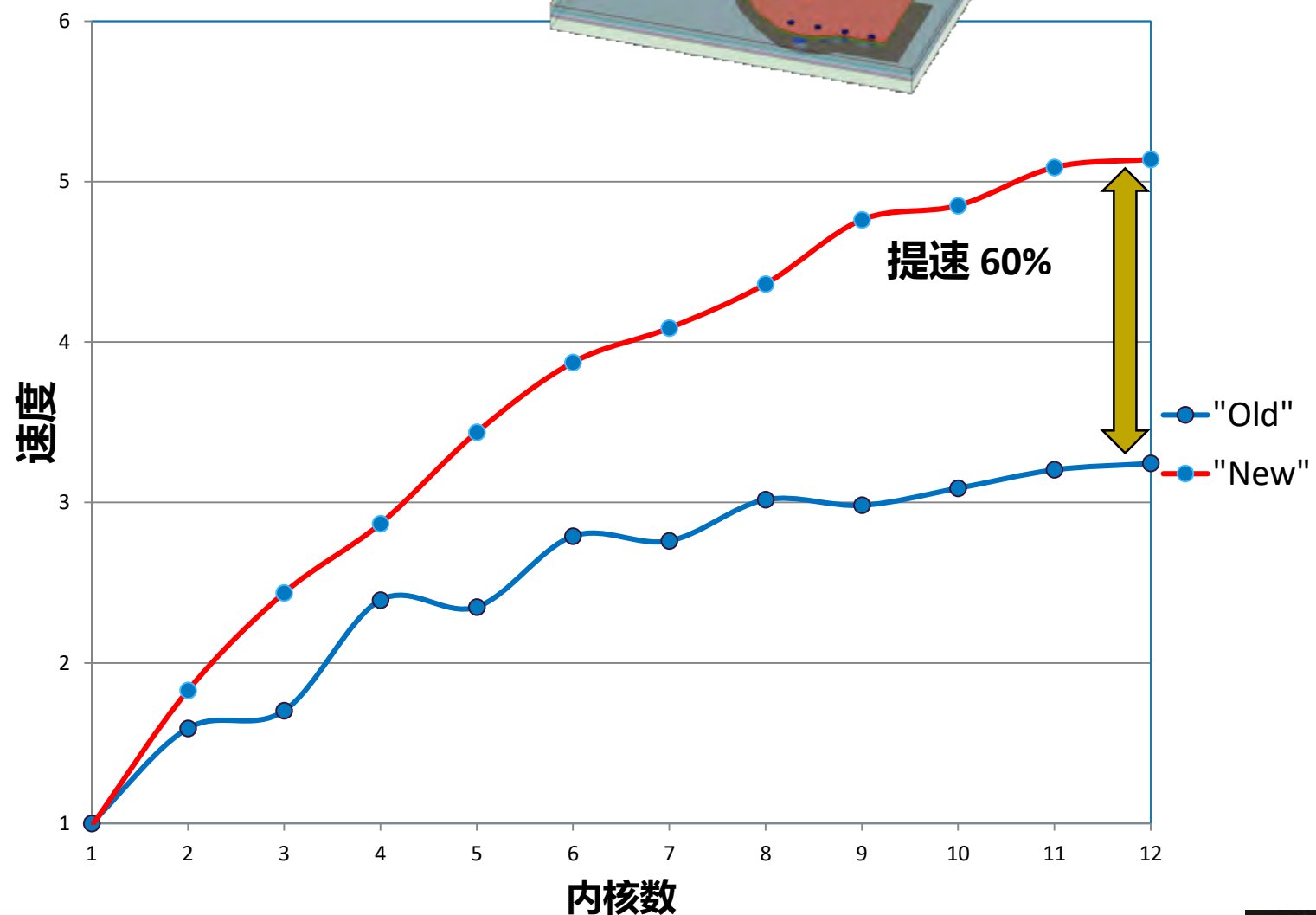
矢量基函数: 不同阶数和网格的效果对比



直接法 (Direct Solver) 和迭代法 (Iterative Solver)

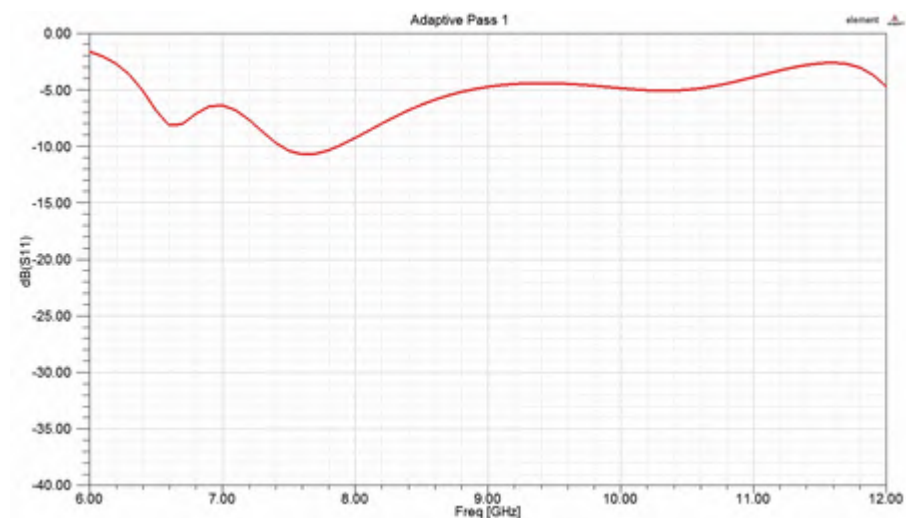
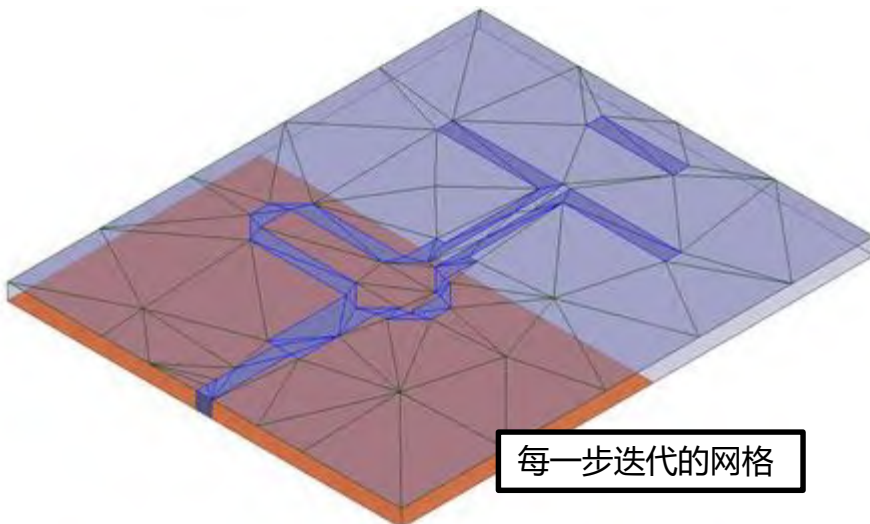


直接法的HPC 提速



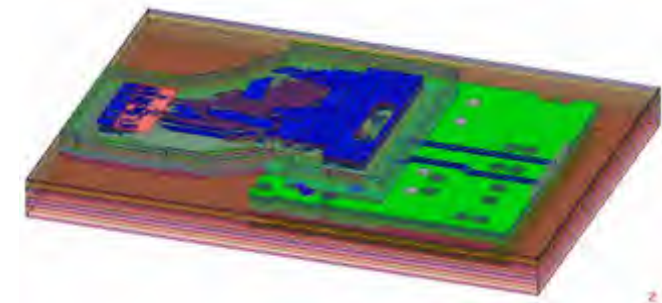
Automatic Adaptive Meshing 自动自适应网格剖分

- 自适应剖分: 网格自动产生且精确



宽带扫频

- 采用 8x4 (HPC 32) 和 8x16 (HPC 128)

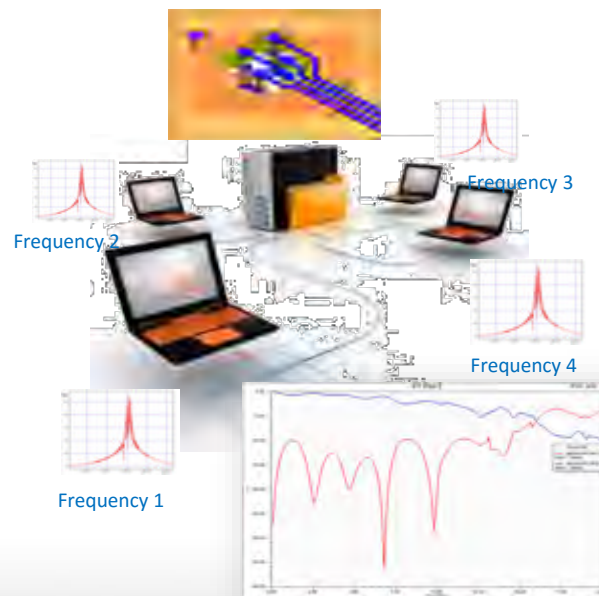
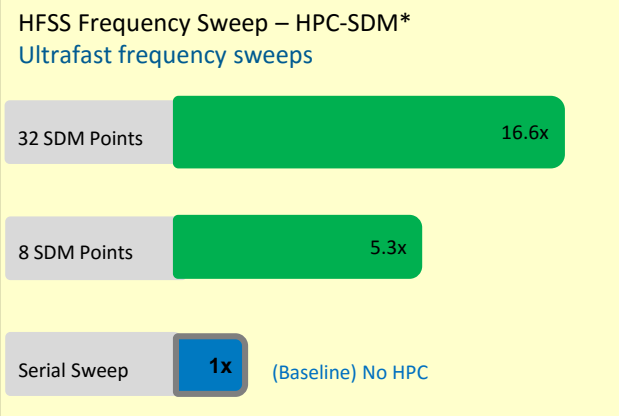


	HFSS 14	HFSS 15
矩阵求解时间 (8 cores)	19:34	14:25 (35% faster)
HPC 32 扫频效率	74%	98%
HPC 32 求解时间	25:04:40	14:48:15 (70% faster)
HPC 128 扫频效率	52%	95%
HPC 128 求解时间	08:50:08	03:50:14 (130% FASTER!)

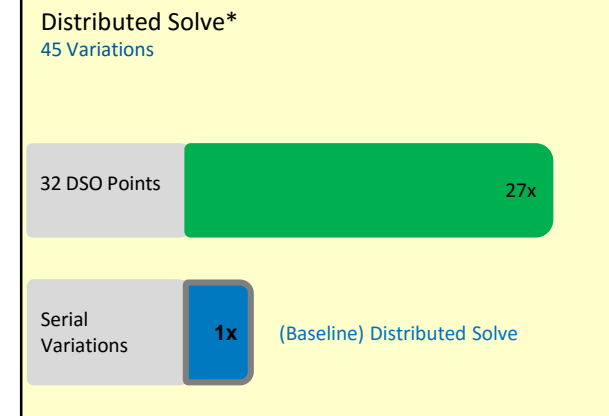
V14 550% V15

分布式并行求解

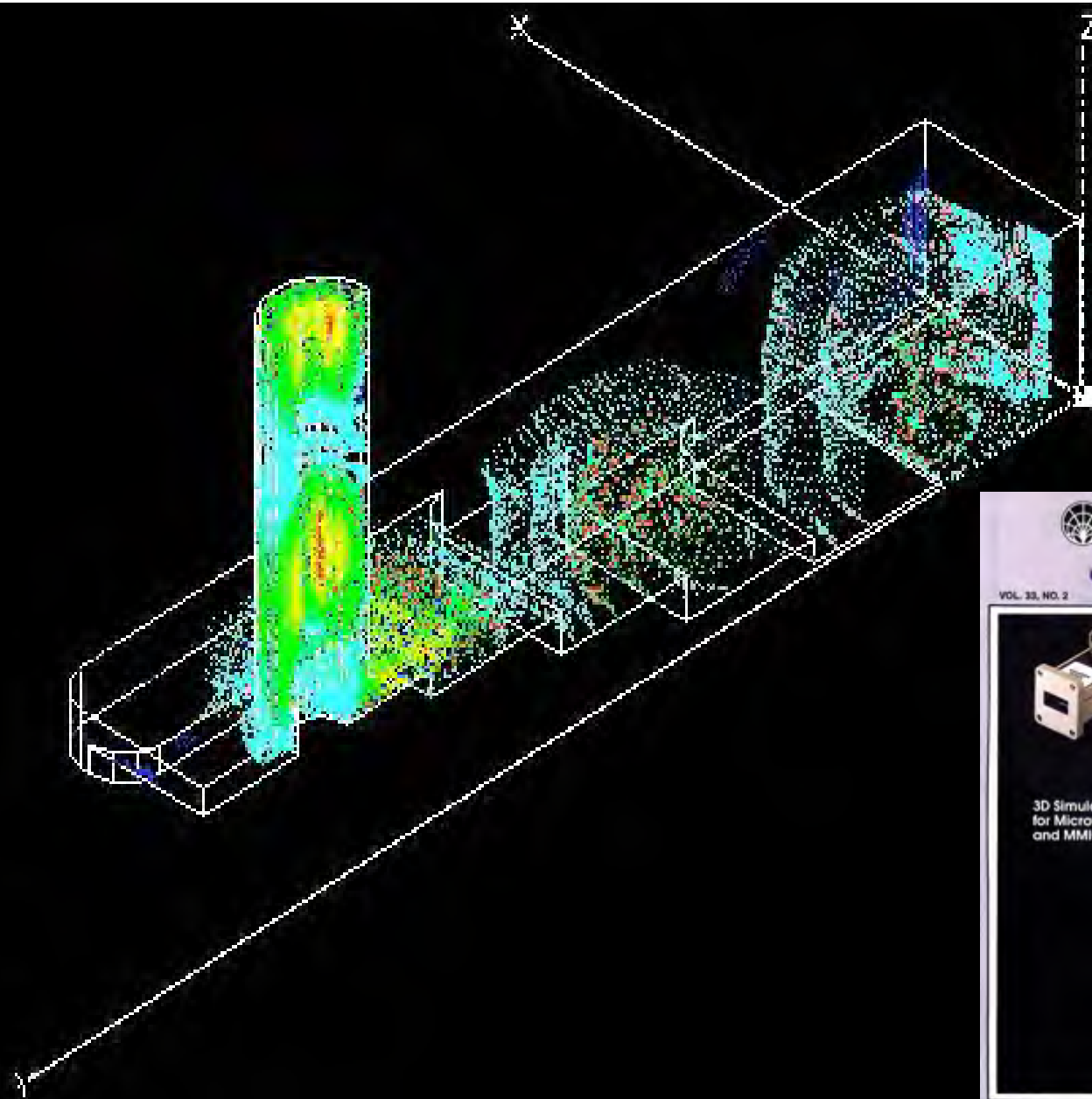
并行扫频



并行参数扫描

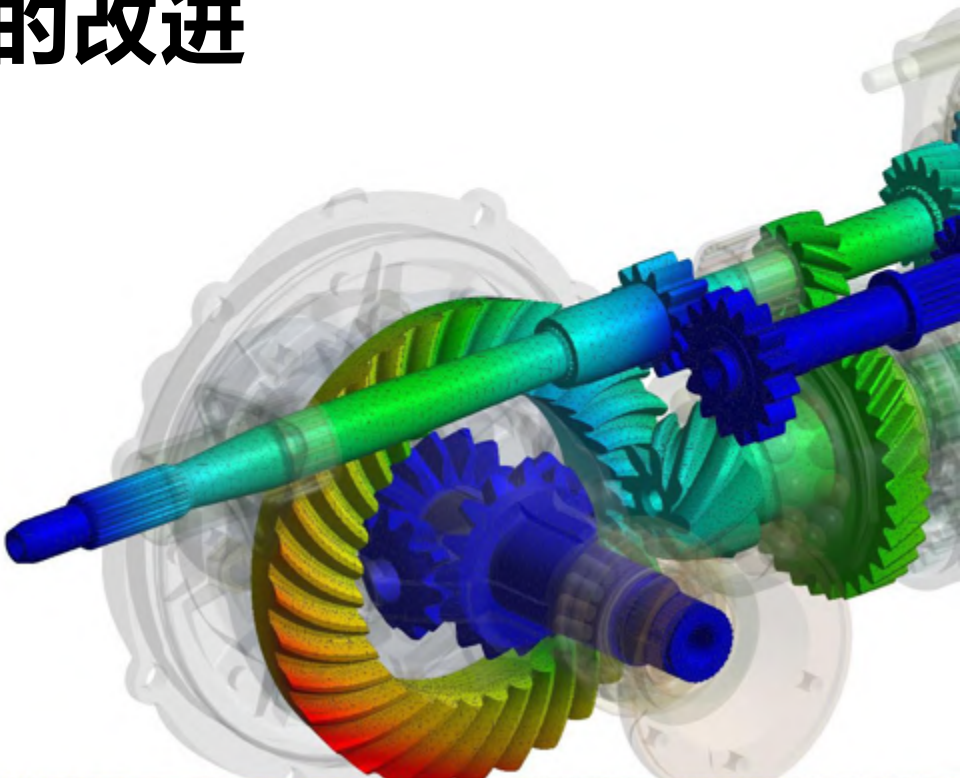


1990 16 小时 , 2007 3 秒!





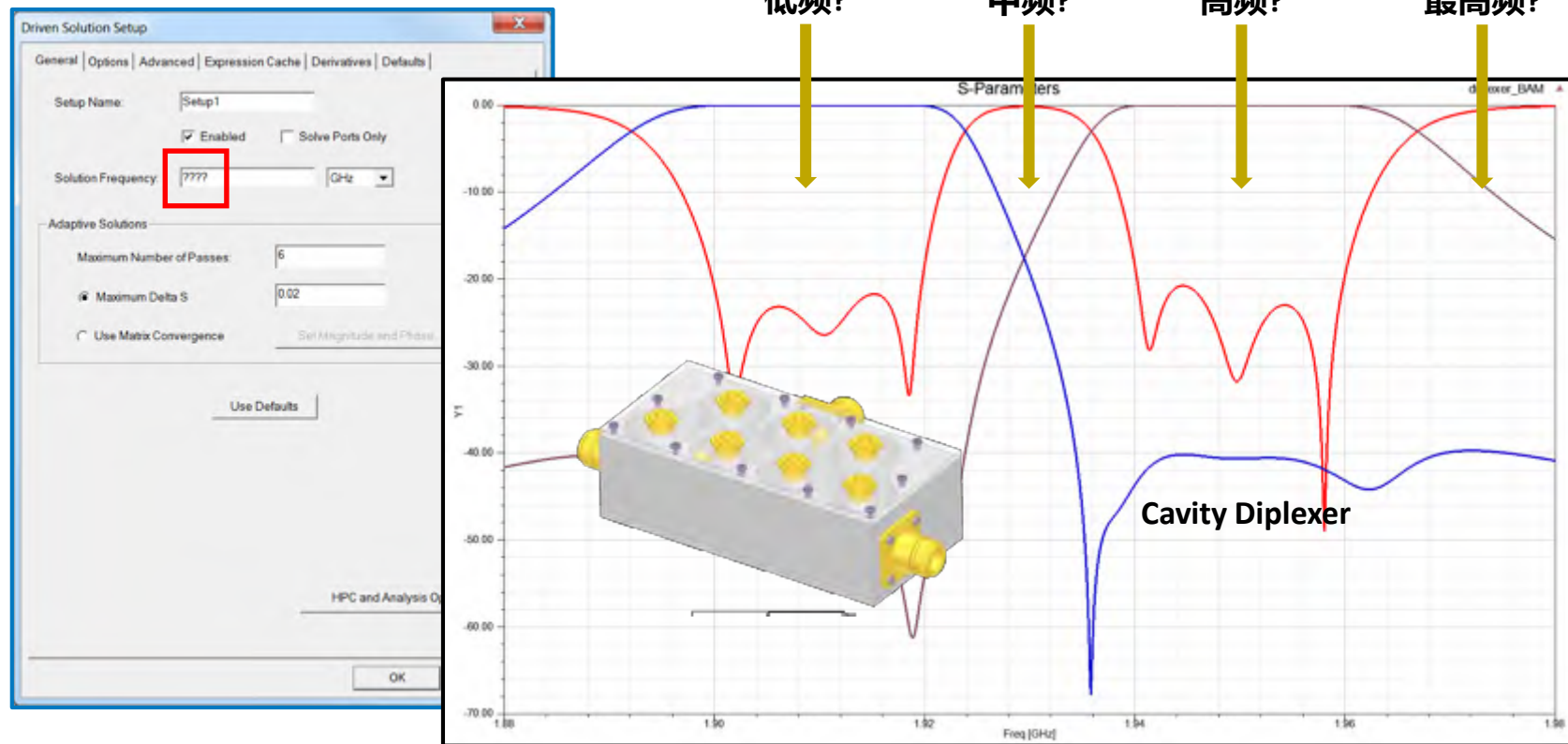
R18.x 的改进



宽带自动自适应网格剖分

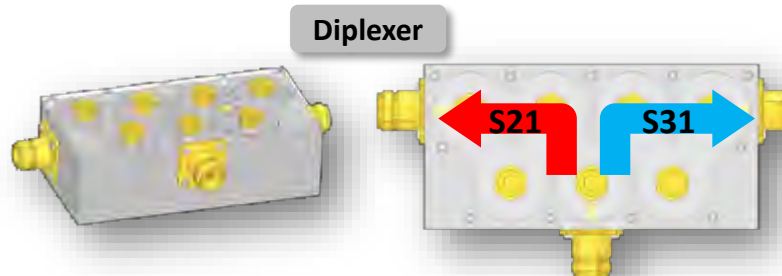
Broadband Adaptive Meshing

- 宽带扫频时要用哪个频率做网格剖分？

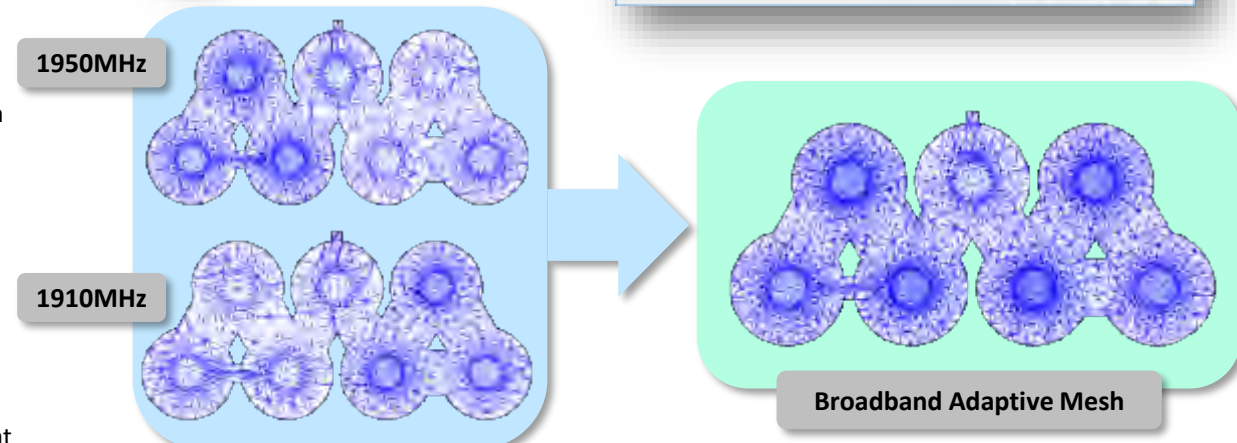


宽带自动自适应网格剖分

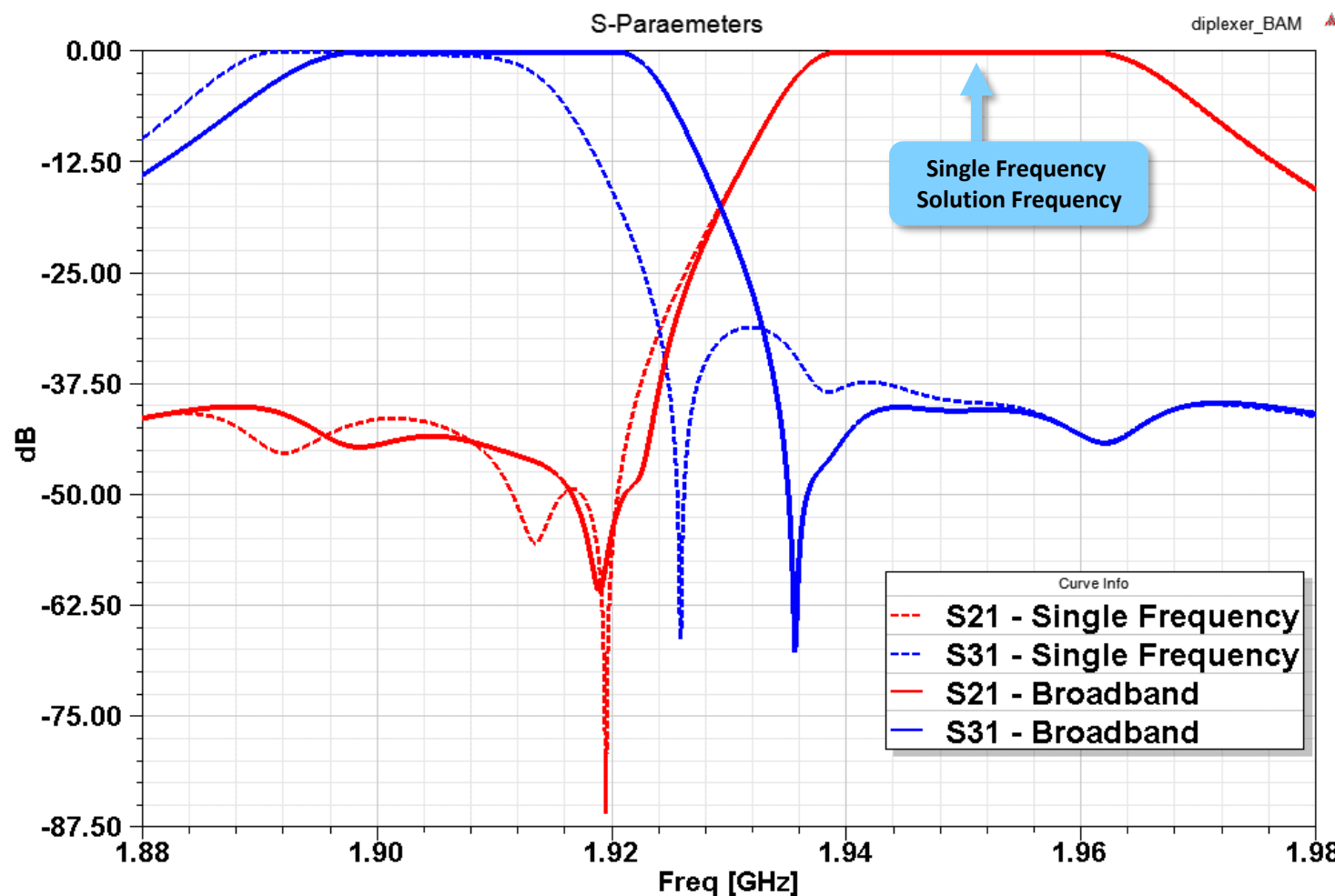
Broadband Adaptive Meshing



- **Single Frequency Adaptive Meshing**
 - Adaptive meshing is traditionally performed at a single solution frequency
 - Relies on user choosing the appropriate solution frequency
 - Some designs are sensitive to choice of solution frequency in delivering broadband accuracy
- **Diplexer Example**
 - Field behavior is significantly different depending on frequency of operation
 - Single frequency adaptive mesh is not ideal at across all frequency points



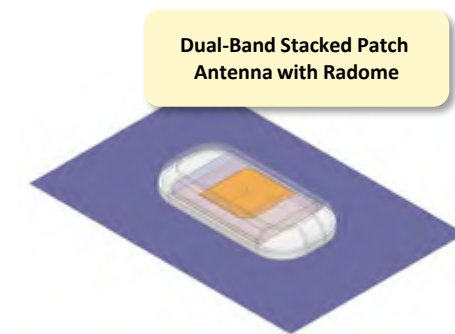
宽带自动自适应网格剖分结果比较



插值扫频的改进

S-Parameter Only Matrix Solve

- 插值扫频时只需解S参数
- 矩阵分解时也只需解和存跟S参数有关的未知量
 - 每个频率点10-20% 加速
 - 减少内存需求
 - HPC可以用相同的内存解更多频率点，以此更快



Adaptive Meshing Fr...			
Simulation Setup	00:00:02	00:00:02	88.4 M
Matrix Assembly	00:00:02	00:00:17	774 M
Solver DCS16	00:00:11	00:01:30	1.84 G
Field Recovery	00:00:01	00:00:06	1.84 G
Disk = 0 KBytes			
Disk = 0 KBytes, 41777 tetrahedra, 1: 112 triangles			
Disk = 0 KBytes, matrix size 250785, matrix bandwidth 2			
Disk = 11347 KBytes, 1 excitations			
Adaptive Passes converged.			

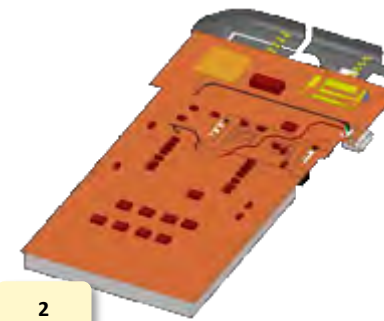
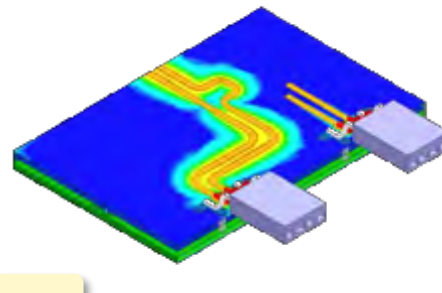
Saved Fields and
S-Parameters

Frequency: 1.5GHz a...					
Simulation Setup	00:00:02	00:00:02	96.3 M	Disk = 0 KBytes, 41777 tetrahedra	
Matrix Assembly	00:00:03	00:00:17	781 M	Disk = 0 KBytes, 41777 tetrahedra, 1: 112 triangles	
Solver DCS16	00:00:09	00:01:06	1.04 G	Disk = 0 KBytes, matrix size 250785, matrix bandwidth 2	
Field Recovery	00:00:00	00:00:05	1.04 G	Disk = 1 KBytes, 1 excitations	

Saved Only
S-Parameters

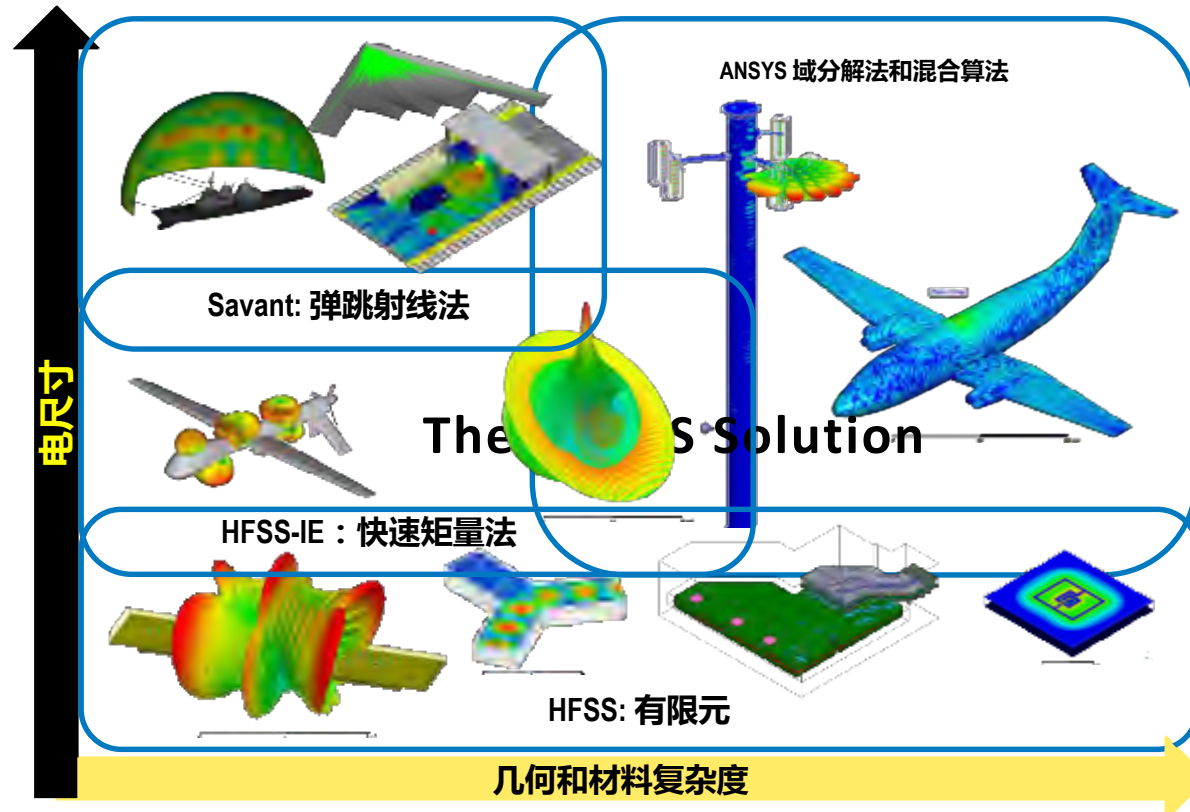
插值扫频的改进的案例

例子 #	R17	R18	
1	13.5 GB	3.41 GB	4X 内存节省
2	39.4 GB	9.71 GB	
3	188 GB	30.8 GB	256GB的电脑R17只能解1个频率点，R18能同时解8个频率点，最终R18总时间2X加速



HFSS 先进的算法技术

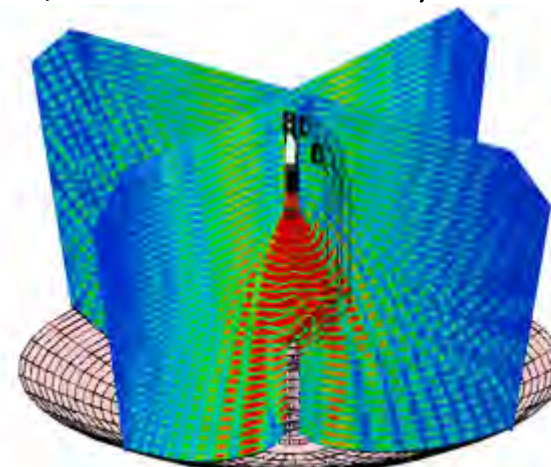
HFSS算法体系



HFSS DDM (Domain Decomposition, 区域分解法)

- **区域分解求解器**

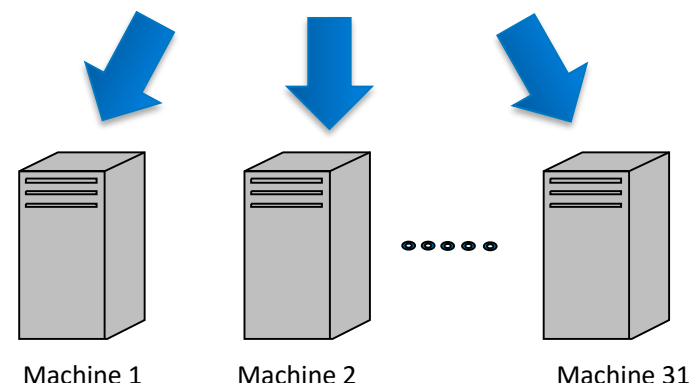
- ✓ v12 版本首次引入
- ✓ 可高效求解电大尺寸电磁问题



带有喇叭馈源和支撑结构的抛物面天线

- **根据网格自动分区域**

- ✓ 易用性好
- ✓ 负载均衡 (Load balance)



Machine 1

Machine 2

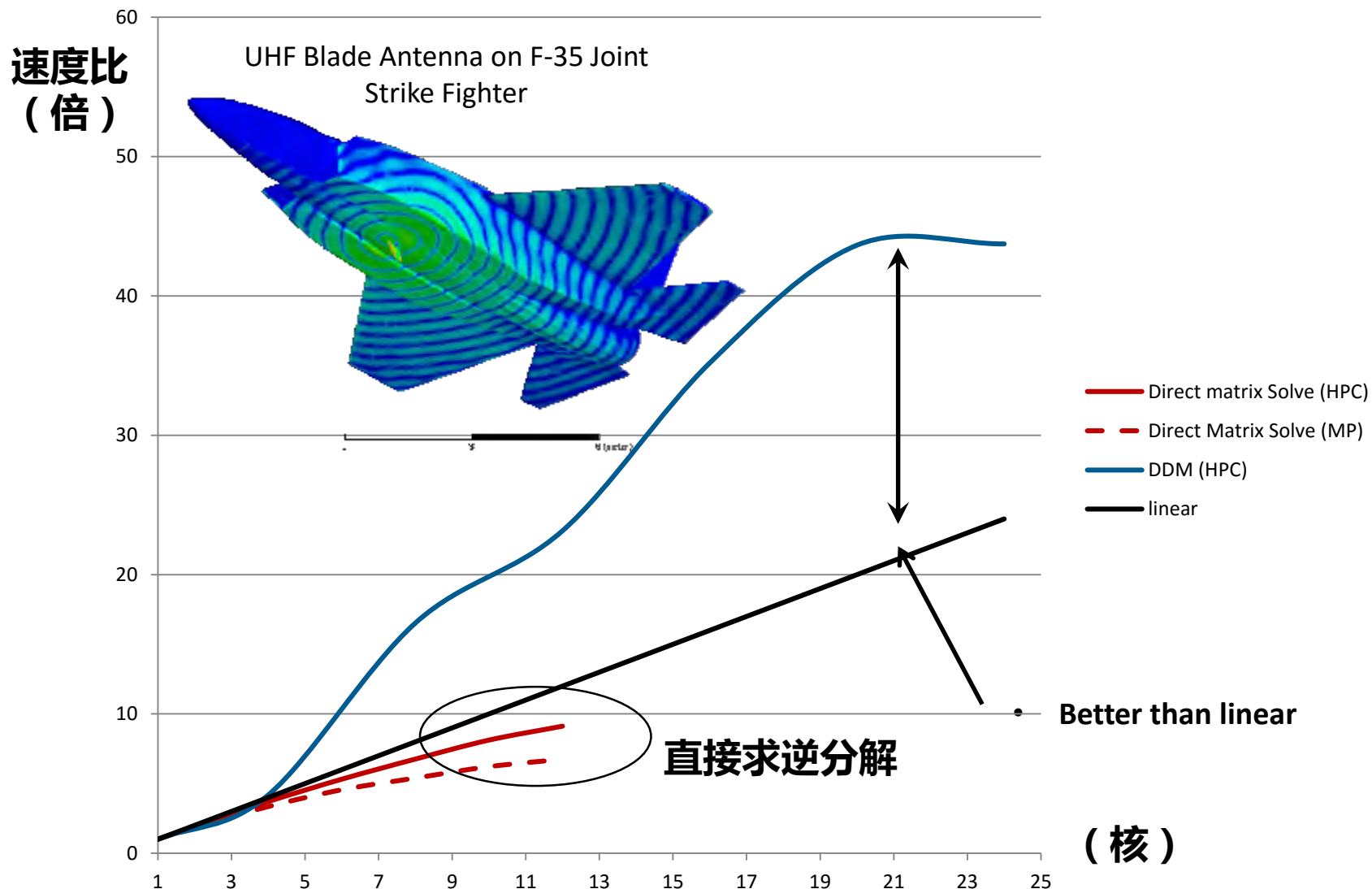
Machine 31

未知量: 12.5 Million

HFSS 11 计算时间: 17 hrs

HFSS 12 DDM 计算时间: 2.5 hrs (6.8X)

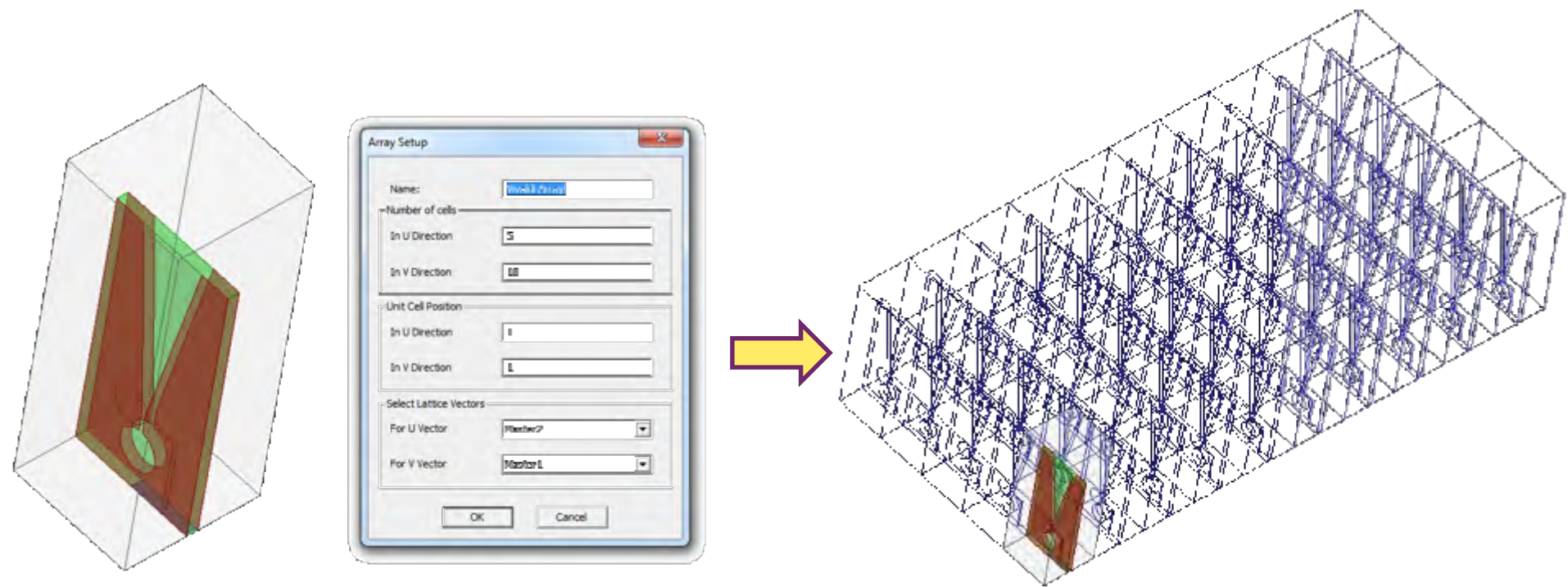
区域分解算法的并行加速比 (Parallel Scalability)



采用 DDM 技术的有限大阵列算法 (Finite Array Solver)

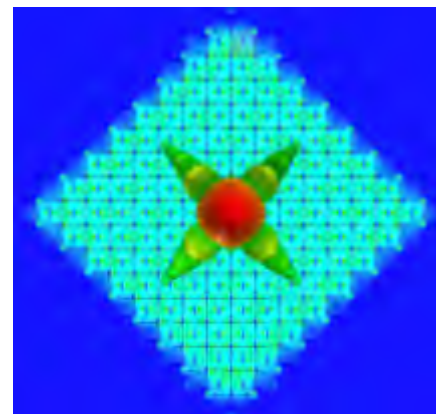
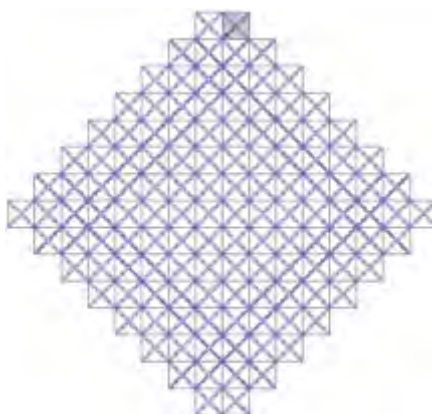
- 针对周期性结构的 DDM 技术 New in V14

- ✓ 建模简便、网格剖分和算法高效
- ✓ 特定的界面，专门用于阵列问题

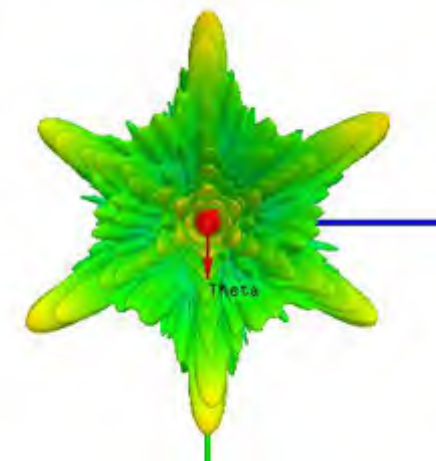
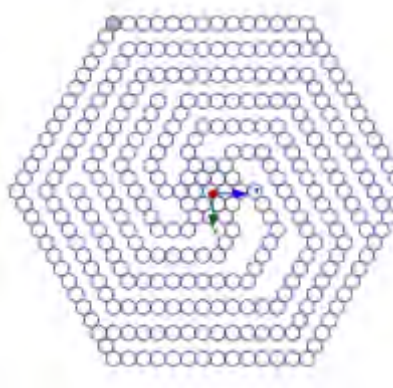


Flexibility (灵活性) – Shaped and Sparse Arrays

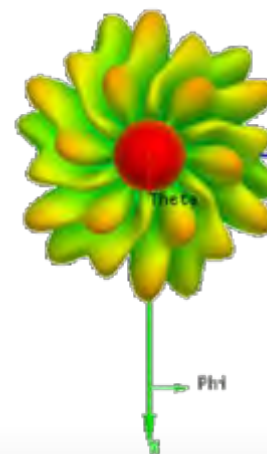
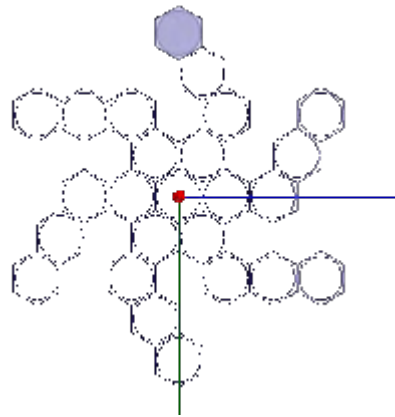
Diamond (钻石状)



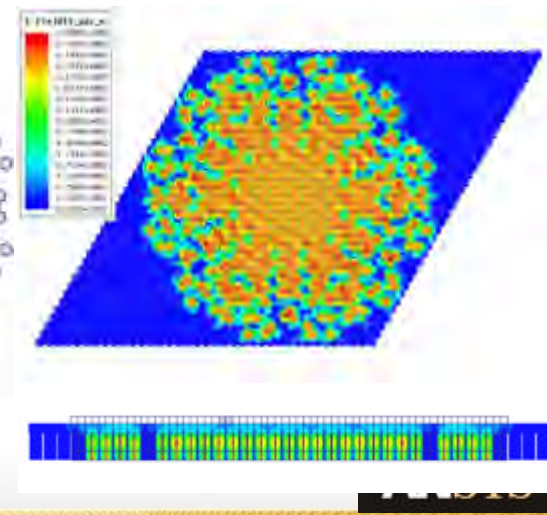
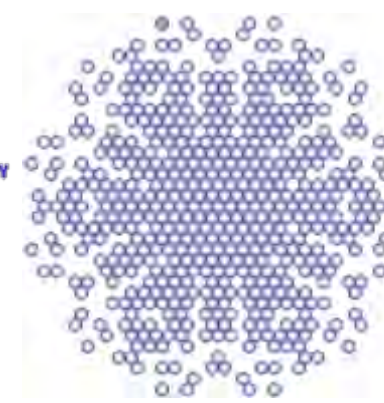
Asymmetric Spiral/Hex (螺旋状)



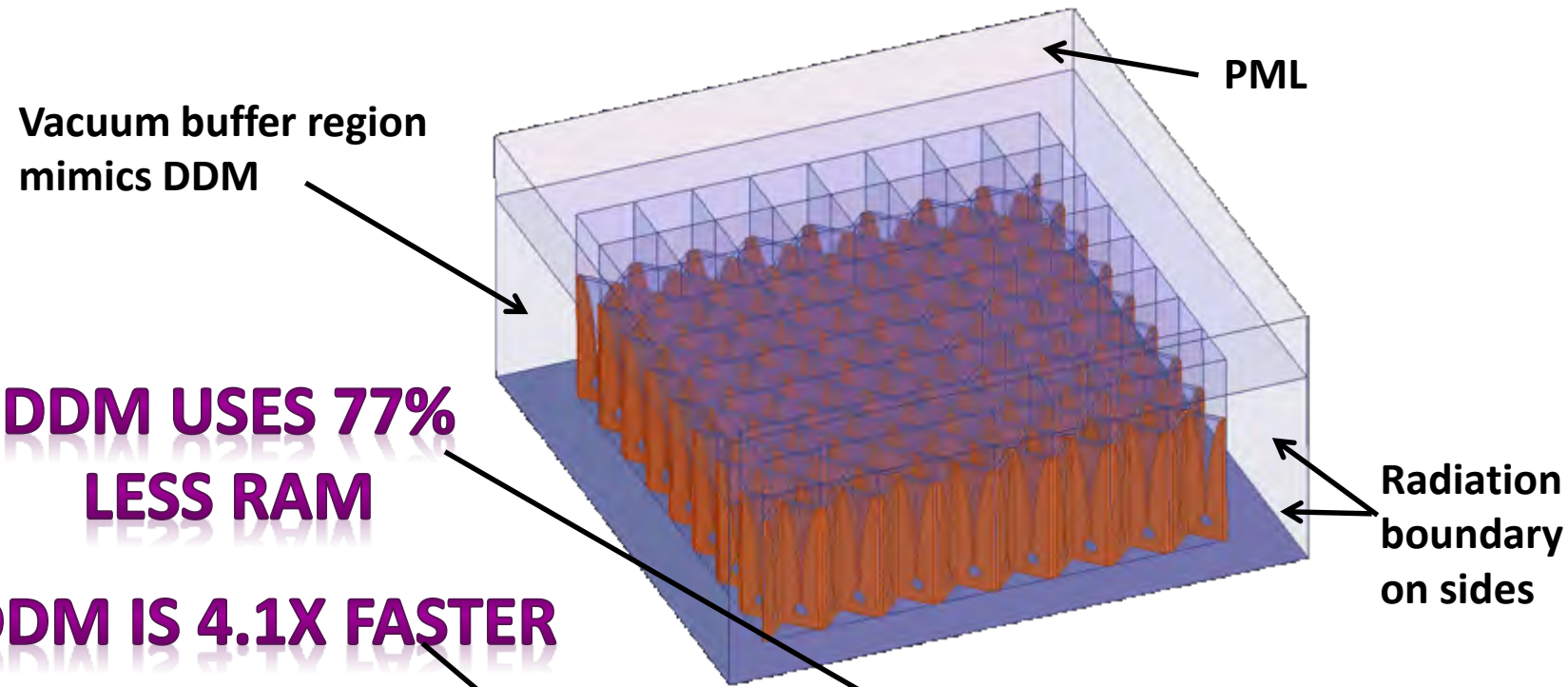
Small Spiral



Snowflake (雪花状)



域分解法对比经典算法



模型	# 激励	# 核	剖分时间	解时间	# 四面体	总需内存	节点最大内存	节点平均内存
8x8 DDM Array	256	13	0h:7m	30h:30m	11,242,700	48.2GB	6.0GB	4.0GB
256 Element Explicit Array	256	12	Total =	122h:18m	5,881,409	211GB	N/A	N/A

HFSS 区域分解法的发展

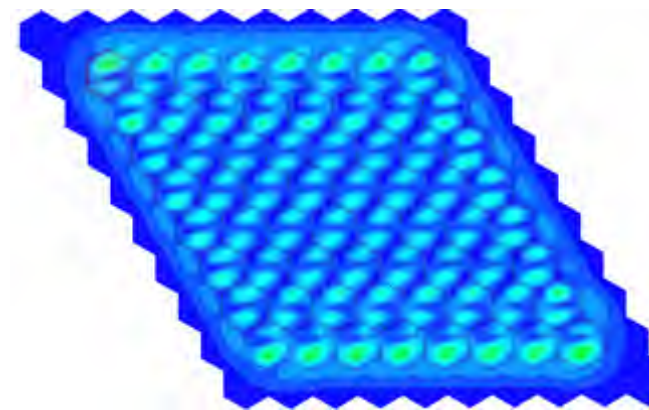
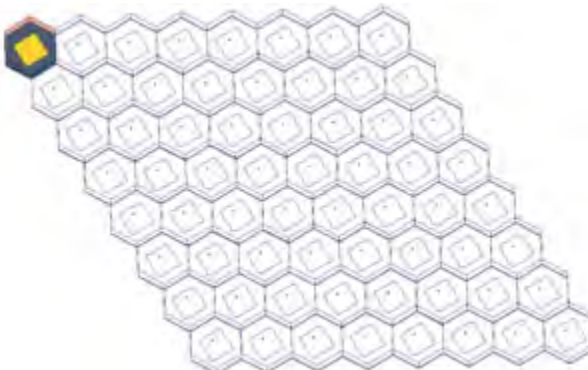
基本区域法取用一阶Robin
传输条件

分布并行 (distributed parallel) 运用文件传输

区域法取用高阶
Robin传输条件

3.2GB, 120 min

8x8 Hex-Patch Array, 64 excitations



8 个核

版本	未知数	内存	平均迭代步	运行时间
v14	5.17M	3.0G	19.2	54 min
v15	5.17M	3.0G	8.9	9 min

3.17GB, 74 min

多右端项的 循环处理
和重新回收

3.19GB, 51 min

取用数值格林函数

3.2GB, 29 min

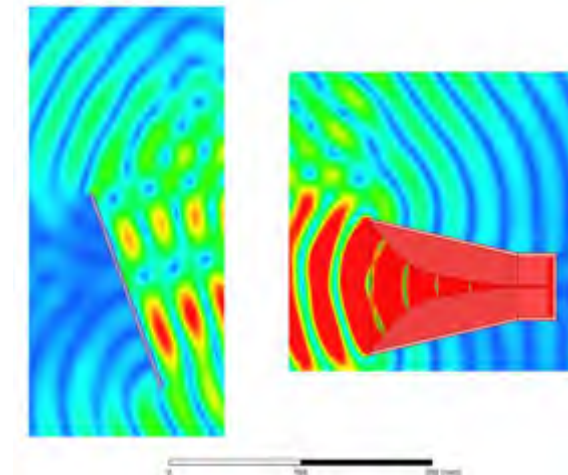
MPI 内存并行

3.2GB, 9 min

采用 DDM 技术的混合算法 (Hybrid Solver)

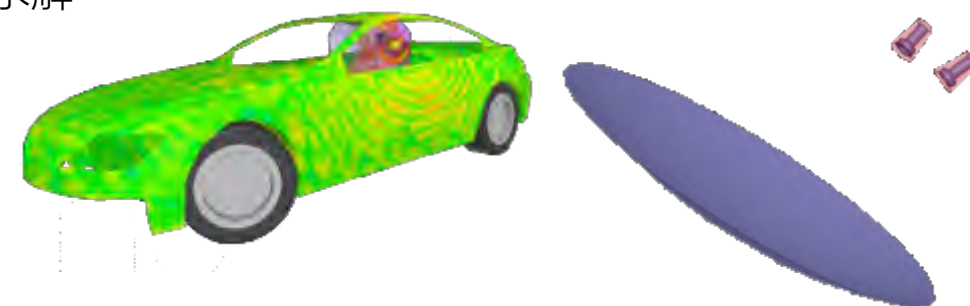
- **FE-BI 技术计算辐射和散射** New in v13

- ✓ 内部区域采用 FEM (有限元法) 求解
- ✓ 外部自由空间采用 IE (积分方程法) 求解
- ✓ 高精度的同时实现高效率计算

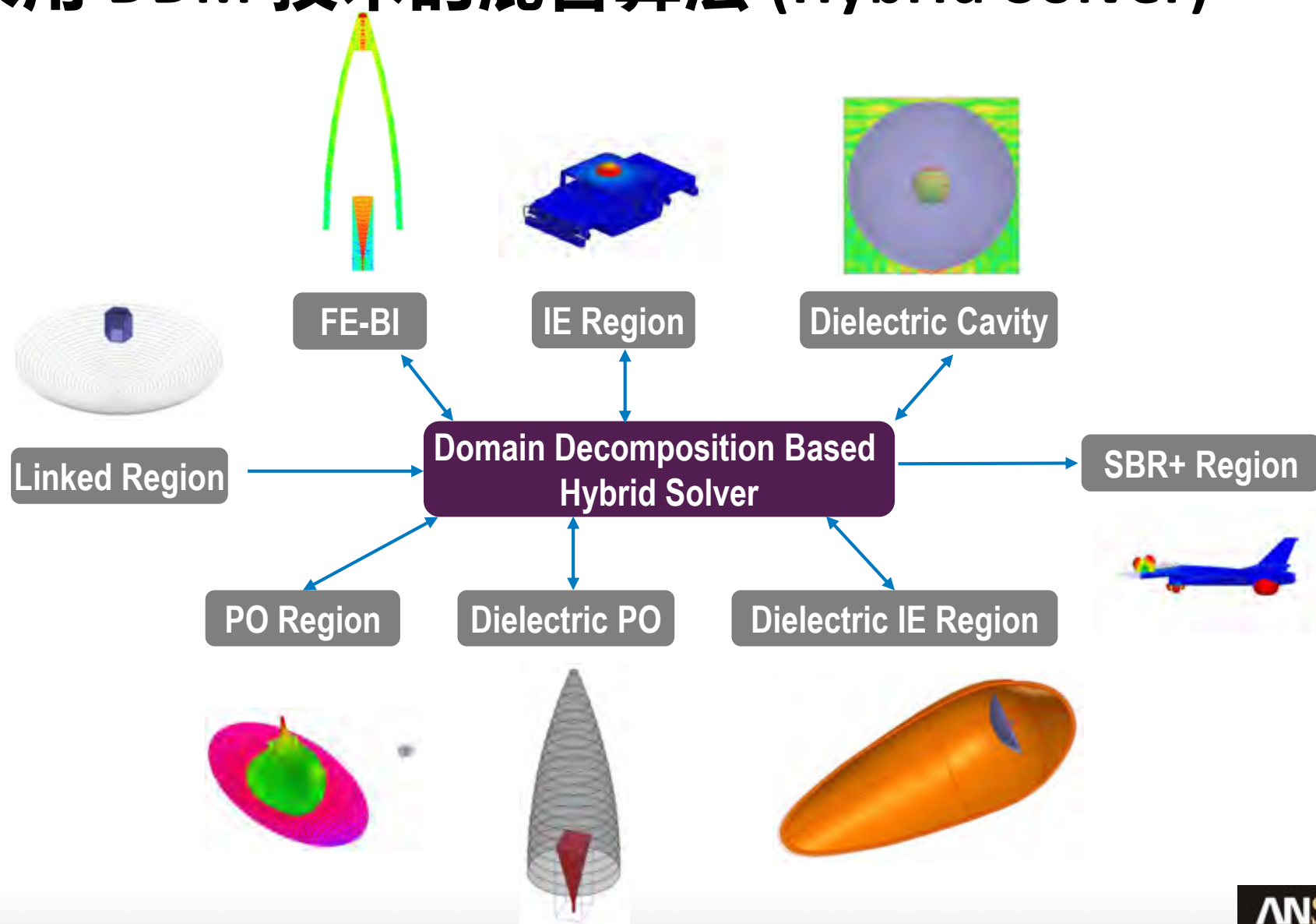


- **IE Regions** New in v14

- ✓ 开放空间的金属物体可直接用 IE 求解
- ✓ 更多内部复杂结构采用 FE-BI 方法

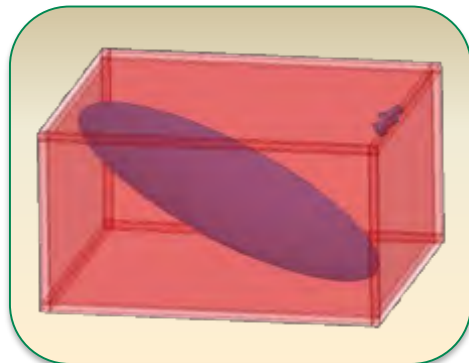


采用 DDM 技术的混合算法 (Hybrid Solver)



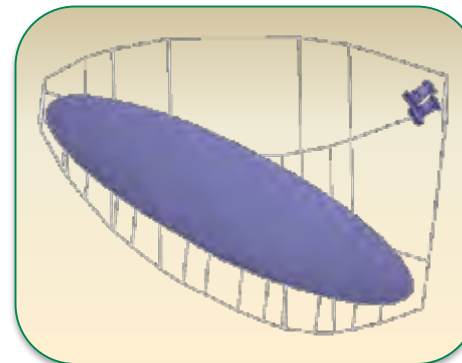
HFSS 求解器演化历程

FE-PML



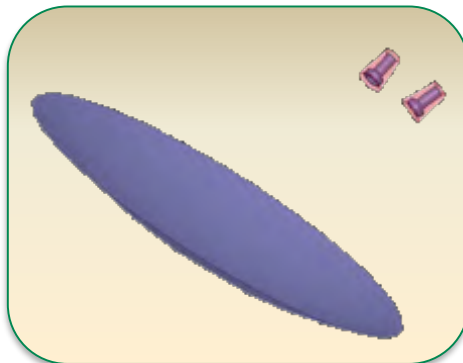
N=7.7M, 137GB, 136min

Hybrid FE-BI



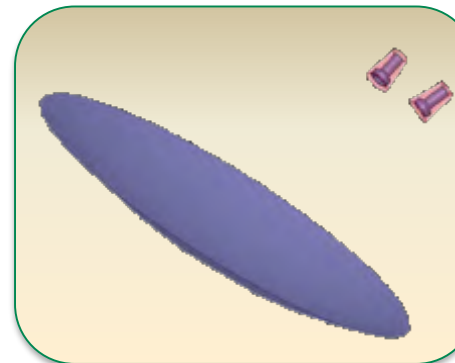
N=5.0M, 78GB, 101min

Hybrid FE-BI and PO Region



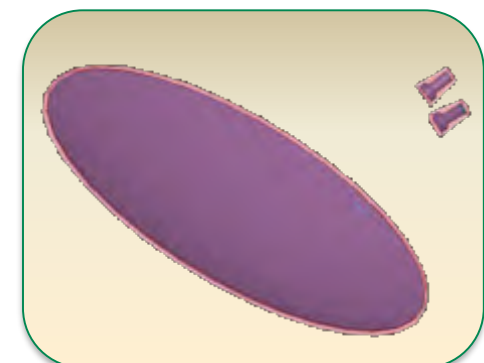
N=127K, 1.6GB, 1.5min

Hybrid FE-BI and IE Region



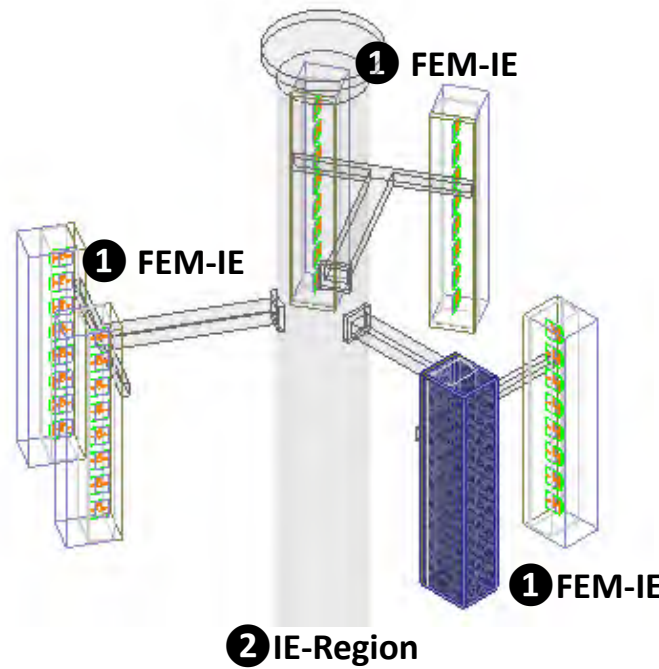
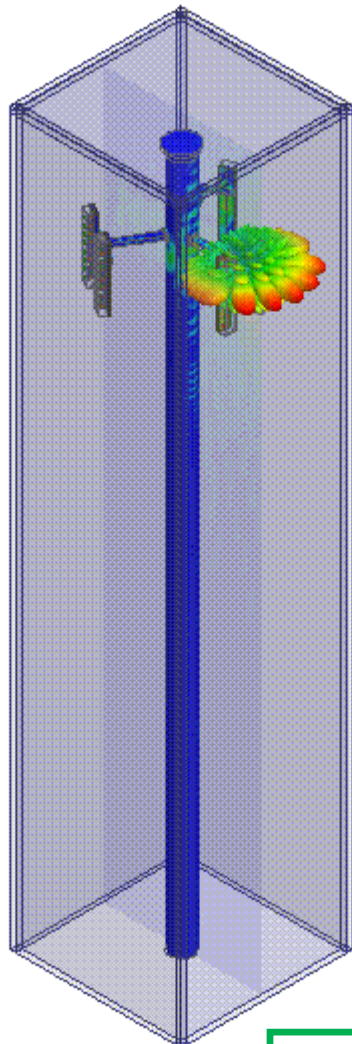
N=127K, 5GB, 6min

Disjoint FE-BIs



N=777K, 18GB, 29min

改善的混合算法 IE-Regions (v15)



Hybrid FEM-IE
 $37 \lambda^3$

算法	总内存	运行时间
FEM	98 GB	9.1 小时
Hybrid Solution	23.7 GB	4.5 小时

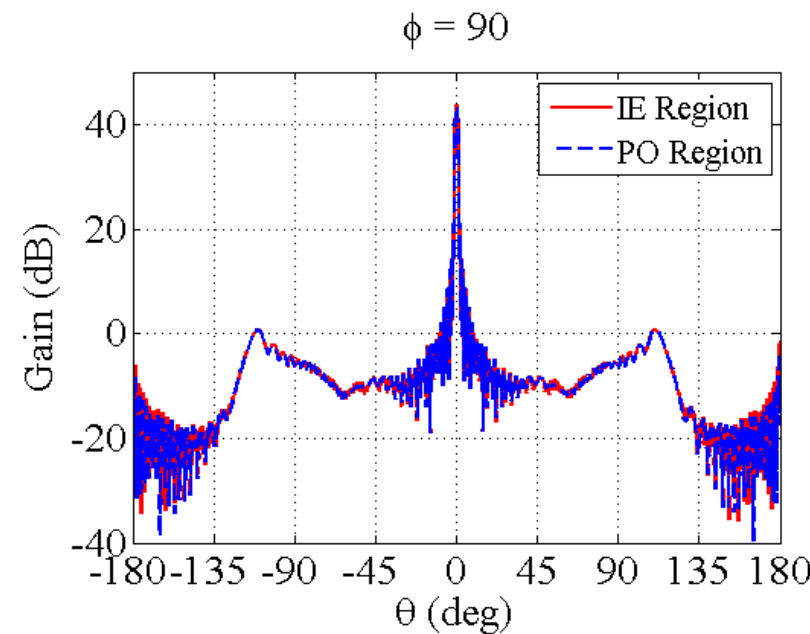
Hybrid IE-Regions shows 2x Speedup, and 76% Less RAM

FEBI + IE/PO Region 案例 : 58λ 碟形反射面



Freq	S21	S22	S23
7.25 (GHz)	2.1 (0.4717, -92.6) (0.0030895, -11.5) (0.0021267, -157)		
	2.2 (0.0030856, -11.5) (0.12924, -67) (0.00064122, -175)		
	2.3 (0.0021298, 157) (0.00064125, -175) (0.12493, 63.9)		

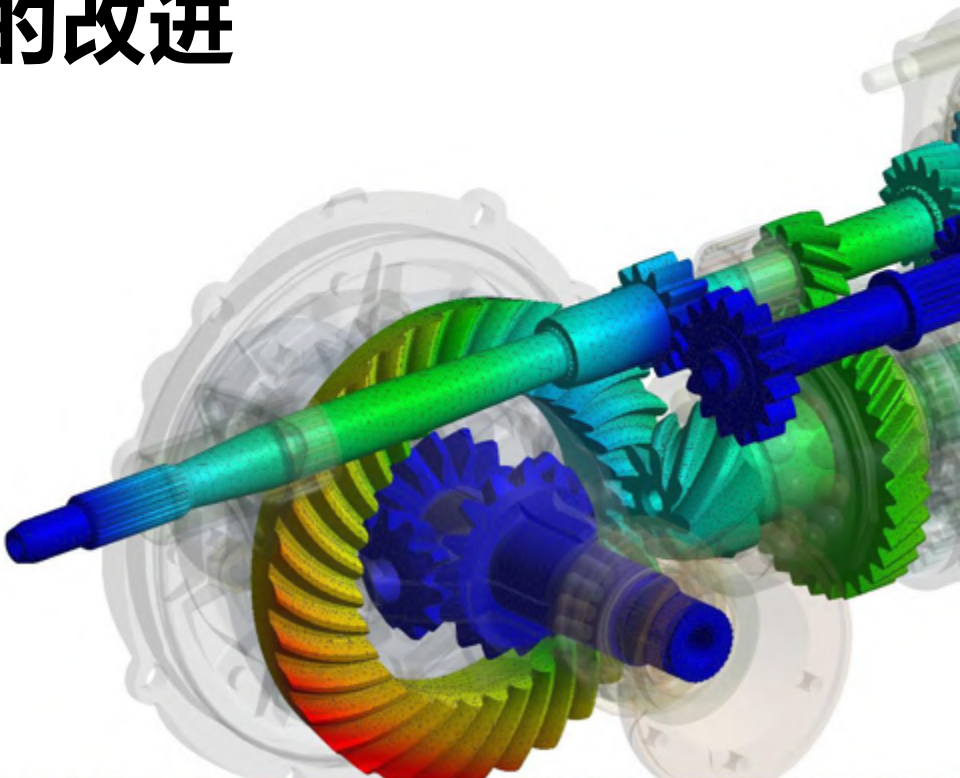
Freq	S21	S22	S23
7.25 (GHz)	2.1 (0.4704, -92.6) (0.0031269, -12) (0.0021887, -159)		
	2.2 (0.0031268, -12) (0.12987, -67.2) (0.00057662, -152)		
	2.3 (0.0021886, 159) (0.00057664, -103) (0.12543, 70.1)		



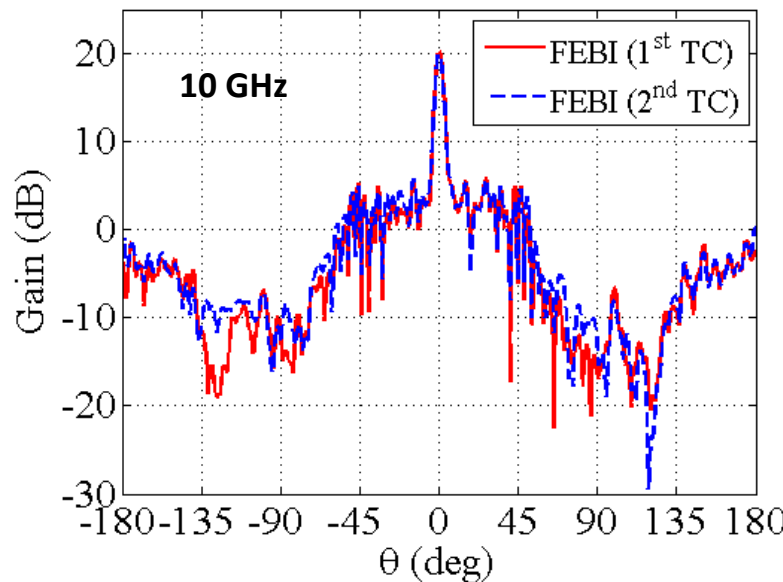
求解器	未知量	内存	迭代步数	仿真时间
IE Region	1,367,400	129 GB	10	160 min
PO Region	1,367,400	14 GB	10	9.5 min



R18.x的改进



改善的 FE-BI



8 task 16 cores

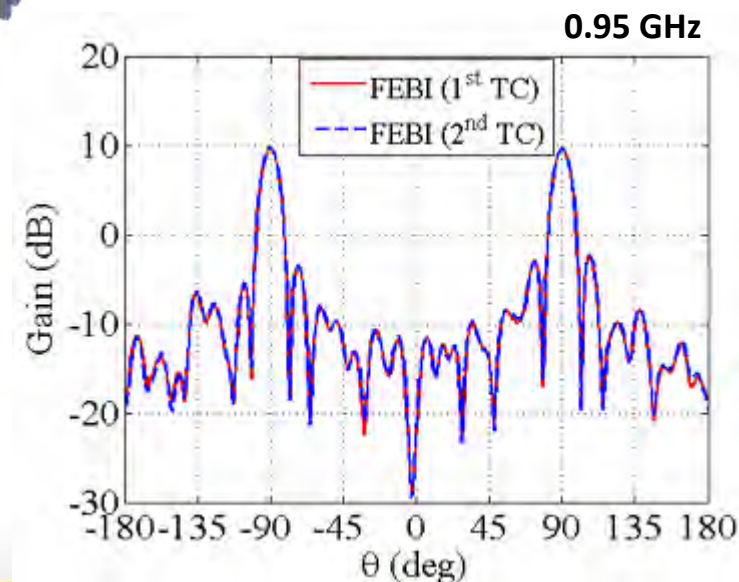
求解器	未知量	内存	迭代步数	仿真时间
R17	804,937	25.6 GB	14	124 min
R18	804,937	24.5 GB	8	78 min

DDM residual 1.e-3

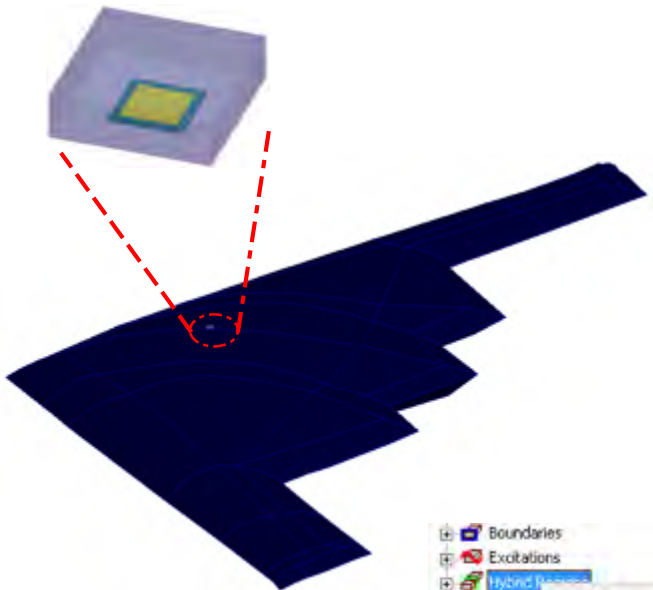
1 task 16 cores

求解器	未知量	内存	迭代步数	仿真时间
R17	1,398,461	27.2 GB	147	210 min
R18	1,398,461	15.6 GB	12	17 min

DDM residual 1.e-3



1way vs 2-way, B2 轰炸机 @ 1GHz

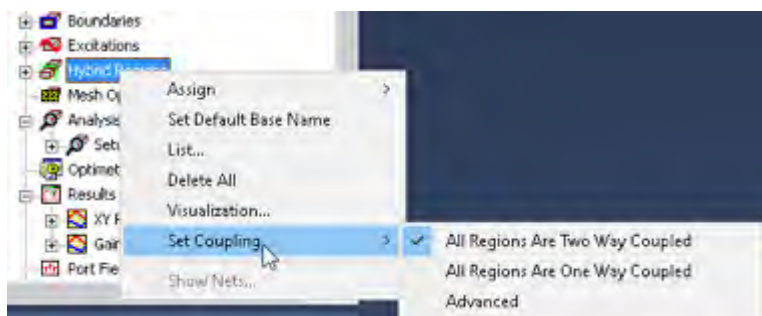


2-way

Freq		S:Pin_T1
1000 (MHz)	Pin_T1 (0.9203, -141)	

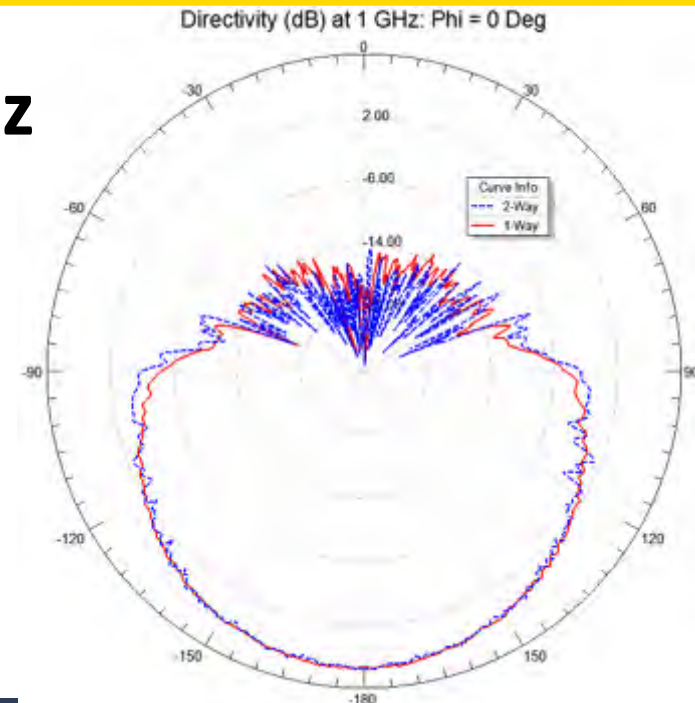
1-way

Freq		S:Pin_T1
1000 (MHz)	Pin_T1 (0.92015, -141)	

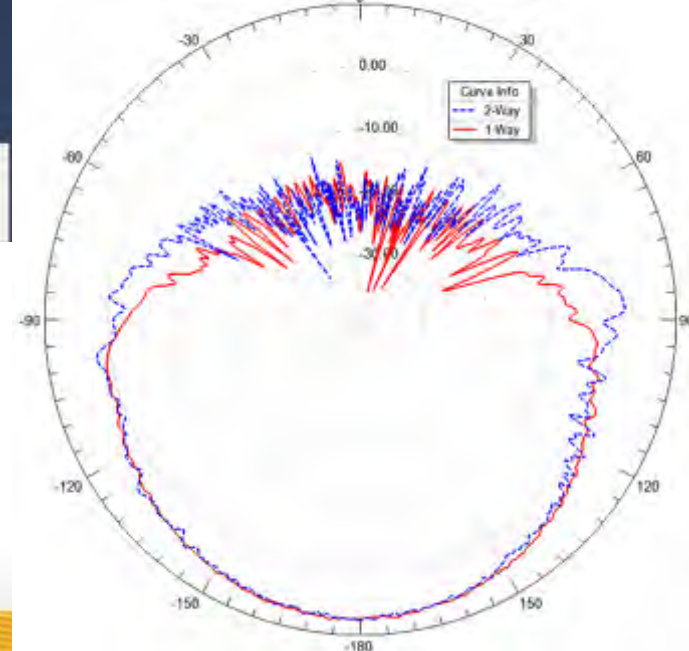


1 task 16 cores

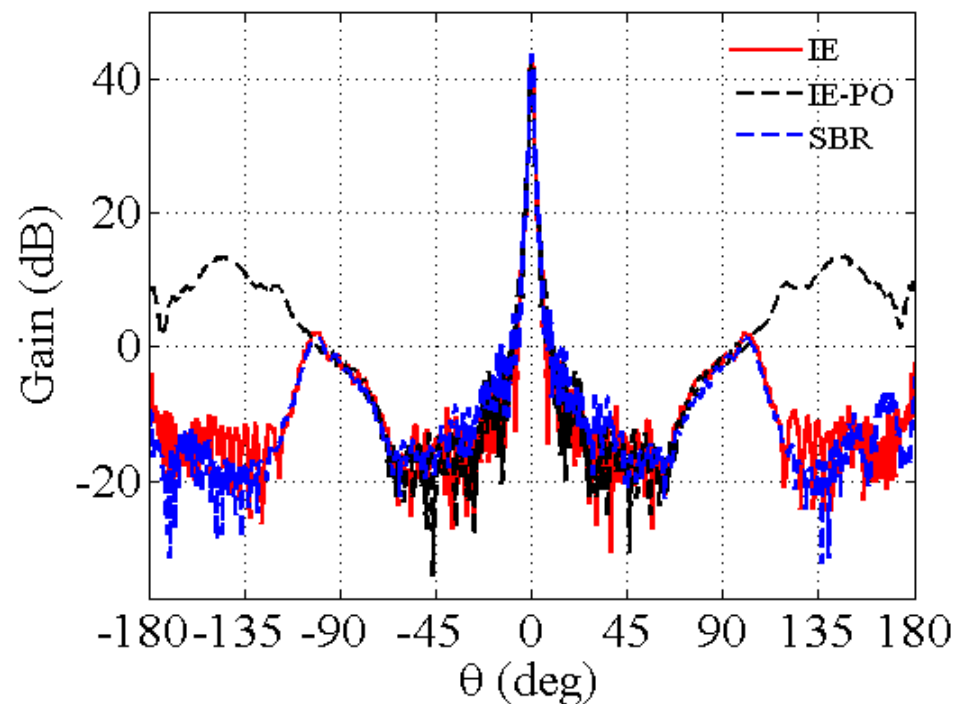
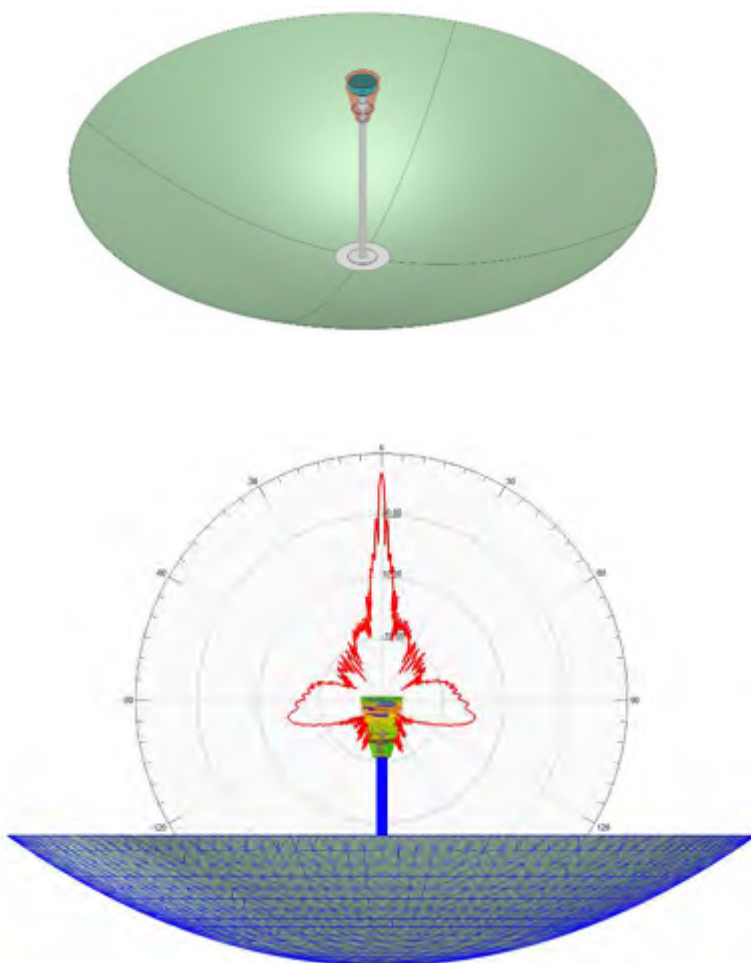
求解器	未知量	内存	仿真时间
Two-Way	454,538	52.2 GB	67 min
One-Way	454,538	49.9 GB	38 min



Directivity (dB) at 1 GHz: Phi = 90 Deg



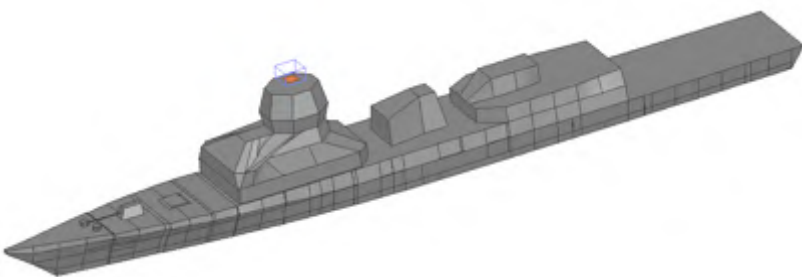
SBR+ Region:碟形反射面@ 7.1GHz



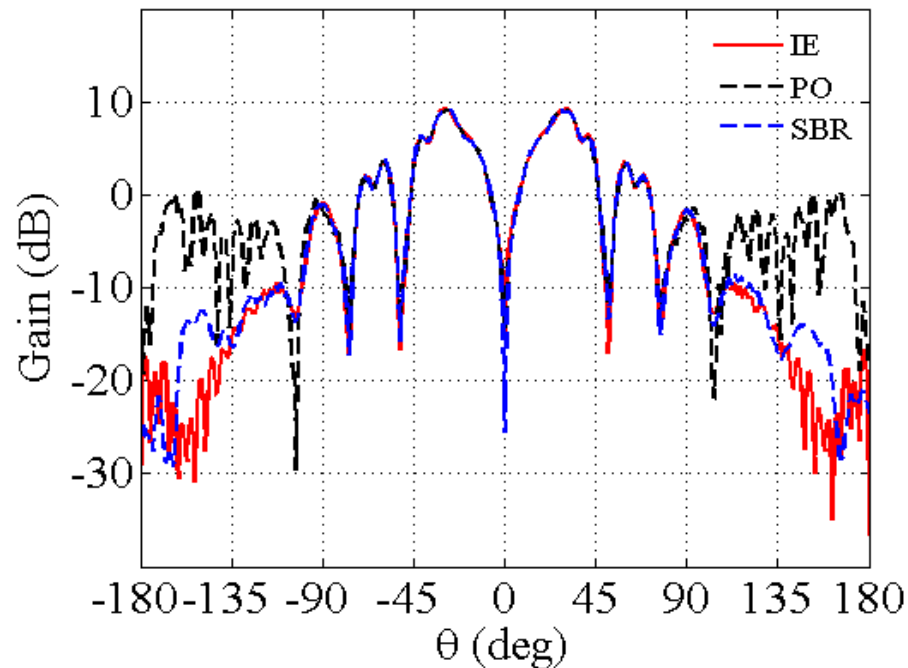
1 task 16 cores , 3 adaptive passes

算法	内存	运行时间
FEBI-IE	24.3 GB	56 min
FEBI-IE-PO	10.7 GB	16 min
FEBI-SBR	2.0 GB	6 min

SBR+ Region: 战舰 @ 0.5GHz



- 战舰长度250 波长.
- IE网格剖分时间12 分钟.



1 task 16 cores

算法	内存	运行时间
FEBI-IE	366 GB	407分钟
FEBI-PO	39.8 GB	24分钟
FEBI-SBR	2.04 GB	3分钟

ANSYS



仿真
新
时代

2017 ANSYS 用户技术大会

中国·烟台

感谢聆听

